

**SECTION 7. Mechanics and machine construction.****Manat Beysheovich Tlebayev**

Doctor of engineering sciences, Professor,  
Academician of Kazakh National Academy of Natural Sciences, Head of the department  
«Computer engineering and Informatics»  
Taraz State University named after M.Kh. Dulati, Kazakhstan

**Pavel Nikolayevich Shevtsov**

student  
Taraz State University named after M.Kh. Dulati, Kazakhstan  
[pasha369@mail.ru](mailto:pasha369@mail.ru)

**COMPUTER SIMULATION OF EXTRUSION PROCESS IN THE ZONE  
DOSING**

*Abstract:* In this research, a computer model is proposed for calculation of the characteristics of the extrusion process.

*Key words:* extrusion, model, polymer, temperature, auger.

**КОМПЬЮТЕРНОЕ МОДЕЛИРОВАНИЕ ПРОЦЕССА ЭКСТРУЗИИ В  
ЗОНЕ ДОЗИРОВАНИЯ**

*Аннотация:* В данном исследовании предлагается компьютерная модель расчета характеристик процесса экструзии.

*Ключевые слова:* экструзия, модель, полимер, температура, шнек.

При моделировании процесса экструзии ключевую роль в механике движения материала внутри экструдера во всех его фазах играют силы трения материала и расплава о стенки цилиндра и шнека. Процессы эти весьма сложные, описываются системами дифференциальных уравнений, которые сегодня решаются при помощи математических компьютерных моделей.

Выходящий из фильеры расплавленный горячий материал в физическом смысле представляет собой высоковязкую жидкость. Поэтому скорость его выхода определяется давлением расплава и сопротивлением его движению в фильере. На выходе из фильеры скорости движения отдельных потоков расплава на выходе из фильеры должны быть одинаковы. Динамические свойства материала и его расплава определяются его физическим и химическим составом, а также температурой. Поэтому современные экструдеры снабжаются эффективными системами автоматического контроля и управления загрузкой компонентов, температурой, давлением расплава.

Важнейшими свойствами материалов, влияющими на работу экструдера в твердой фазе, являются насыпная плотность, сжимаемость, размеры и форма частиц, внутреннее и внешнее трение, склонность к агломерации, в расплавленном состоянии - комплекса вязкостных характеристик.

При анализе работы зоны дозирования одночервячных экструдеров наибольшее развитие в настоящее время получило модельное представление развертки канала червяка на плоскость с обращением движения материального цилиндра. В такой модели рассматривается течение жидкой среды в прямоугольном канале под действием бесконечной плоскости, движущейся над каналом со скоростью  $V$  под углом  $\varphi$ . В общем виде решение данной задачи достигается совместным решением уравнений: движения

$$\rho \left( \frac{\partial V_i}{\partial t} + V_j \frac{\partial V_i}{\partial x_j} \right) = \rho f_i^2 - \frac{\partial P}{\partial x_j} + \frac{\partial t_{i,j}}{\partial x_j} ;$$

неразрывности (для несжимаемых сред):

$$\sum \frac{\partial V_i}{\partial x_i} = 0 ;$$

сохранения энергии:

$$\rho C_p \left( \frac{\partial T}{\partial t} + V_j \frac{\partial T}{\partial x_j} \right) = \frac{\partial}{\partial x_j} \left( K - \frac{\partial T}{\partial x_j} \right) + t_{i,j} \frac{\partial V_i}{\partial x_j}$$

реологического уравнения:

$$t_{i,j} = f(\xi_{i,j}, \eta)$$

при соответствующих граничных условиях.

Решение поставленной задачи будем выполнять в Delphi в соответствии с разработанными алгоритмами

```
unit Unit1;
interface
uses
  Winapi.Windows, Winapi.Messages, System.SysUtils, System.Variants, System.Classes,
  Vcl.Graphics,
  math, Vcl.Controls, Vcl.Forms, Vcl.Dialogs, Vcl.StdCtrls, Vcl.Buttons, Vcl.ExtCtrls,
  Vcl.ComCtrls, Vcl.Samples.Spin, Vcl.Grids, VclTee.TeeGDIPlus, VCLTee.TeEngine,
  VCLTee.Series, VCLTee.TeeProcs, VCLTee.Chart;
...
var
  Form1: TForm1;
R,x0,y0,x1,y1,
t,dx0:double; tt:array[1..100] of real; p1,p2,p3:real;
yy,t0:integer;
implementation

{$R *.dfm}
function Ok(x0,y0,R:real):boolean;
var i:integer;
begin
form1.image1.Canvas.Ellipse(trunc(x0-R),trunc(y0-R),trunc(x0+R),trunc(x0+R));
end;

function Okr(x0,y0,R:real):boolean;
var i:integer;
begin
form1.image1.Canvas.Ellipse(trunc(x0-R),trunc(y0-R),trunc(x0+R),trunc(y0+R));
end;
```

```

function Kvad(x0,y0,xL,yL:real):boolean;
begin
form1.image1.Canvas.Rectangle(trunc(x0),trunc(y0),trunc(x0+xL),trunc(y0+yL));
end;

function KvadColor(x0,y0,xL,yL:real;c:tcolor):boolean;
begin
form1.image1.Canvas.Brush.Color:=c;
form1.image1.Canvas.FillRect(rect(trunc(x0),trunc(y0),trunc(x0+xL),trunc(y0+yL)));
form1.image1.Canvas.Brush.Color:=clwhite;
end;

function Pryz(x0,y0,x1,y1:real):boolean;
var k,
i,j:integer;
L,h,x,R,y,v:real;
begin
okr(x0,y0,5);okr(x1,y1,5);
form1.image1.Canvas.MoveTo(trunc(x0),trunc(y0));
R:=10;
L:=sqrt(sqr(x1-x0)+sqr(y1-y0));
k:=5;
h:=L/(360*k) ;

for I := 1 to 360*k do
begin
y:=y0+h*i;
x:=x0+R*sin(k*i/360);
form1.image1.Canvas.LineTo(trunc(x),trunc(y));
end;
end;

function Pryz1(x0,y0,x1,y1:real):boolean;
var k,
i,j:integer;
L,h,x,R,y,v:real;
begin
okr(x0,y0,5);okr(x1,y1,5);
form1.image1.Canvas.MoveTo(trunc(x0),trunc(y0));
R:=10;
L:=sqrt(sqr(x1-x0)+sqr(y1-y0));
k:=5;
h:=L/(360*k) ;

for I := 1 to 360*k do
begin
x:=x0+h*i;
y:=y0+R*sin(k*i/360);
form1.image1.Canvas.LineTo(trunc(x),trunc(y));
end;
end;

```

```
end;

function setka:boolean;
var i,j:integer;dy1:real;
begin
form1.image1.Canvas.Pen.Width:=1;
form1.image1.Canvas.Pen.Color:=clscrollbar;
dy1:=25;
for I := 0 to 50 do
begin
form1.image1.Canvas.MoveTo(0,trunc(i*dy1));
form1.image1.Canvas.LineTo(1000,trunc(i*dy1));
form1.image1.Canvas.MoveTo(trunc(i*dy1),0);
form1.image1.Canvas.LineTo(trunc(i*dy1),1000);
end;
form1.image1.Canvas.Pen.Color:=clblack;
form1.image1.Canvas.Pen.Width:=1;
end;

function spir(x0,y0,h:real):boolean;
var i,j:integer;dx,dy1:real;
begin
form1.image1.Canvas.Pen.Width:=1;
dy1:=25;
for I := 1 to 15 do
begin
form1.image1.Canvas.Pen.Color:=clblack;
form1.image1.Canvas.MoveTo(trunc(x0)+i,trunc(y0));
dx:=0;
if x0>500 then
dx:=x0-500;
form1.image1.Canvas.LineTo(trunc(x0)+40+i,trunc(y0)+150);
end;
form1.image1.Canvas.Pen.Color:=clblack;form1.image1.Canvas.Pen.Width:=1;
end;

procedure TForm1.BitBtn1Click(Sender: TObject);
var dy1,i,a,b,c:integer; d1,d2, dex:real;
begin
// очистка
image1.Canvas.Brush.Color:=clwhite;
image1.Canvas.FillRect(rect(0,0,1000,1000));
setka;
kvadcolor(-1*100+50-1,yy+20,100-2,30,clteal);
kvadcolor(-1*100+50-1,yy+200,100-2,30,clteal);
kvadcolor(0*100+50-1,yy+200,100-2,30,clteal);
kvadcolor(50+1,yy-50,10,100,clteal);
kvadcolor(150-13,yy-50,10,100,clteal);
for i := 1 to 4 do begin
kvadcolor(i*100+50-1,yy+20,100-2,30,clmaroon);
kvadcolor(i*100+50-1,yy+200,100-2,30,clmaroon);
```

```

end;
form1.image1.Canvas.Pen.Color:=clblack;
image1.Canvas.Brush.Color:=clwhite;
kquadcolor(0,yy+100+1,700,50-2,clhotlight);
for i := -4 to 4 do begin
if t0+i*100+50-1>-100 then
if t0+i*100+50-1<550 then
spir(t0+i*100+50-1,yy+50,50);
end;
kquadcolor(5*100+50-1,yy+50,60,150,clteal);
image1.Canvas.Pen.Width:=4;
image1.Canvas.Pen.Width:=2;
d1:=sqrt(sqr(x0-100)+sqr(y0-200));
d1:=d1/2;
d2:=sqrt(10000/3-sqr(d1));
image1.Canvas.Pen.Width:=4;
end;

procedure TForm1.Button1Click(Sender: TObject);
begin
timer1.Enabled:=not(timer1.Enabled);
if timer1.Enabled then button1.Caption:='Пайза';
if timer1.Enabled=false then button1.Caption:='Старт';
end;

procedure TForm1.Button2Click(Sender: TObject);
var d,tt,x,n,L:integer;
K,t,h1,e,ln,lc,h3,h2,d1,d2,o,a,b,a1,b1,
i,q,yv,m1,m2,y1,y2,aa,bb,mv,lg,tgf,pm,pd:real;
begin
i:=2;
d:=spinedit2.Value;
x:=spinedit3.Value;
n:=spinedit4.Value;
l:=d*35;
K:=strtoFLOAT(label19.Caption);
t:=1.1*d;
tt:=spinedit2.Value;
h1:=0.15*d;
e:=0.09*d;
ln:=roundto(0.7*l,-3);
lc:=l-ln;
h3:=roundto(0.5*(d-sqrt(d*d-((4*h1)/i)*(d-h1))),-3);
h2:=roundto(h1-(h1-h3)/l*lc,-3);
d1:=roundto(d-2*h1,-3);
d2:=roundto(d-2*h2,-3);
o:=roundto(1-((6.9*d)/(2*(h2-h1))*math.Log10(h2/h3)-(d*d)/(2*h2*h3)),-3);
a:=roundto((pi*pi)/(h2*h3)*((d*(h2-h3))/(2*h2*h3)-1),-3);
b:=2.3/((h2-
h3)*d*d*d)*math.Log10(h2*(d+d2)/h3*(d+d1)+(2*h2*h3+(h2+h3)*d)/(2*d*d*h2*h2*h3*h
3));

```

```

a1:=((pi*pi*pi)*((t-(x*e))*o))/(a+((t*t)*b));
b1:=(3.14*t*(t-x*e))/(12*math.LogN(2.7,a+t*t*b));
q:=roundto((a1*k*n)/(60*(k+b1)),-2);
yv:=roundto((pi*d*n)/(60*h3),-3);
m1:=roundto(math.Log10(1800),-3);
m2:=roundto(math.Log10(500),-3);
y1:=roundto(math.Log10(20),-3);
y2:=roundto(math.Log10(350),-3);
aa:=roundto((m2-m1)/(y2-y1),-3);
bb:=roundto(((aa*y1)+m1),-3);
mv:=roundto(power(10,(power(yv,aa))*bb),-3);
lg:=4*t;
tgf:=t/(pi*d);
pm:=roundto((pi*d*lg*mv*n)/(h3*h3*tgf*60),-1);
pd:=roundto(pm/1.5,-1);
label18.Caption:=inttostr(l);
label20.Caption:=floattostr(t);
label21.Caption:=floatTTOstr(h1);
label22.Caption:=FLOATTtostr(e);
label46.Caption:=floattostr(ln);
label47.Caption:=floattostr(lc);
label48.Caption:=floattostr(h3);
label49.Caption:=floattostr(h2);
label50.Caption:=floattostr(d1);
label51.Caption:=floattostr(d2);
label52.Caption:=floattostr(o);
label53.Caption:=floattostr(a);
label54.Caption:=floattostr(b);
label55.Caption:=floattostr(A1);
label56.Caption:=floattostr(b1);
label57.Caption:=floattostr(q);
label58.Caption:=floattostr(yv);
label59.Caption:=floattostr(aa);
label60.Caption:=floattostr(bb);
label61.Caption:=floattostr(mv);
label62.Caption:=floattostr(lg);
label63.Caption:=floattostr(pm);
label64.Caption:=floattostr(pd);
end;

procedure TForm1.Button3Click(Sender: TObject);
var j,d,tt,x,n,L:integer;
K,t,h1,e,ln,lc,h3,h2,d1,d2,o,a,b,a1,b1,
i,f,q,yv,m1,m2,y1,y2,aa,bb,mv,lg,tgf,pm,pd:real;
qm,yvm,pmm,pdm:array of real;
begin
i:=2;
d:=spinedit2.Value;
x:=spinedit3.Value;
n:=spinedit4.Value;
l:=d*35;

```

```

K:=strtoFLOAT(label19.Caption);
t:=1.1*d;
tt:=spinedit2.Value;
h1:=0.15*d;
e:=0.09*d;
ln:=roundto(0.7*1,-3);
series2.Clear;series3.Clear;series4.Clear;
for j:=1 to 100 do
begin
t:=j/100;
lc:=1-ln;
h3:=roundto(0.5*(d-sqrt(d*d-((4*h1)/i)*(d-h1))),-3);
h2:=roundto(h1-(h1-h3)/1*lc,-3);
d1:=roundto(d-2*h1,-3);
d2:=roundto(d-2*h2,-3);
o:=roundto(1-((6.9*d)/(2*(h2-h1))*math.Log10(h2/h3)-(d*d)/(2*h2*h3)),-3);
a:=roundto((pi*pi)/(h2*h3)*((d*(h2-h3))/(2*h2*h3)-1),-3);
b:=2.3/((h2-
h3)*d*d*d)*math.Log10(h2*(d+d2)/h3*(d+d1))+((2*h2*h3+(h2+h3)*d)/(2*d*d*h2*h2*h3*
3));
a1:=((pi*pi*pi)*((t-(x*e))*o))/(a+((t*t)*b));
b1:=(3.14*t*(t-x*e))/(12*math.LogN(2.7,a+t*t*b));
q:=roundto((a1*k*n)/(60*(k+b1)),-2);
yv:=roundto((pi*d*n)/(60*h3),-3);
lg:=4*t;
m1:=roundto(math.Log10(1800),-3);
m2:=roundto(math.Log10(500),-3);
y1:=roundto(math.Log10(20),-3);
y2:=roundto(math.Log10(350),-3);
aa:=roundto((m2-m1)/(y2-y1),-3);
bb:=roundto(((aa*y1)+m1),-3);
mv:=roundto(power(10,(power(yv,aa))*bb),-3);
tgf:=t/(pi*d);
pm:=roundto((pi*d*lg*mv*n)/(h3*h3*tgf*60),-1);
pd:=roundto(pm/1.5,-1);
series2.addxy(t,a1);
series3.addxy(t,b1);
label3.Caption:='шаг нарезки';
label4.Caption:='прямой поток A1';
label5.Caption:='шаг нарезки';
label8.Caption:='обратный поток B1';
label6.Caption:='шаг нарезки';
label7.Caption:='обратный поток C1';
t:=t+1;
end;
end;

procedure TForm1.Button6Click(Sender: TObject);
var j,d,tt,x,n,L:integer;
K,t,h1,e,ln,lc,h3,h2,d1,d2,o,a,b,a1,b1,
i,f,q,yv,m1,m2,y1,y2,aa,bb,mv,lg,tgf,pm,pd:real;

```

```

qm,yvm,pmm,pdm:array of real;
begin
i:=2;
d:=spinedit2.Value;
x:=spinedit3.Value;
n:=spinedit4.Value;
l:=d*35;
K:=strtoFLOAT(label19.Caption);
t:=1.1*d;
tt:=spinedit2.Value;
h1:=0.15*d;
e:=0.09*d;
ln:=roundto(0.7*1,-3);
series2.Clear;
series3.Clear;
series4.Clear;
for j:=n to 100 do
begin
lc:=l-ln;
h3:=roundto(0.5*(d-sqrt(d*d-((4*h1)/i)*(d-h1))),-3);
h2:=roundto(h1-(h1-h3)/l*lc,-3);
d1:=roundto(d-2*h1,-3);
d2:=roundto(d-2*h2,-3);
o:=roundto(1-((6.9*d)/(2*(h2-h1))*math.Log10(h2/h3)-(d*d)/(2*h2*h3)),-3);
a:=roundto((pi*pi)/(h2*h3)*((d*(h2-h3))/(2*h2*h3)-1),-3);
b:=2.3/((h2-
h3)*d*d*d)*math.Log10(h2*(d+d2)/h3*(d+d1))+((2*h2*h3+(h2+h3)*d)/(2*d*d*h2*h3*h
3));
a1:=((pi*pi*pi)*((t-(x*e))*o))/(a+((t*t)*b));
b1:=(3.14*t*(t-x*e))/(12*math.LogN(2.7,a+t*t*b));
q:=roundto((a1*k*n)/(60*(k+b1)),-2);
yv:=roundto((pi*d*n)/(60*h3),-3);
lg:=4*t;
m1:=roundto(math.Log10(1800),-3);
m2:=roundto(math.Log10(500),-3);
y1:=roundto(math.Log10(20),-3);
y2:=roundto(math.Log10(350),-3);
aa:=roundto((m2-m1)/(y2-y1),-3);
bb:=roundto(((aa*y1)+m1),-3);
mv:=roundto(power(10,(power(yv,aa))*bb),-3);
tgf:=t/(pi*d);
pm:=roundto((pi*d*lg*mv*n)/(h3*h3*tgf*60),-1);
pd:=roundto(pm/1.5,-1);
series2.addxy(n,q);
series3.addxy(n,yv);
series4.addxy(n,pd);
label3.Caption:='частота вращения шнека, об/мин';
label4.Caption:='Q,см3/сек';
label5.Caption:='частота вращения шнека, об/мин';
label8.Caption:='скорость сдвига расплава в канале шнека';
label6.Caption:='частота вращения шнека, об/мин';

```

```
label7.Caption:='давление перед головкой,Па';
n:=n+1;
end;
end;

procedure TForm1.FormCreate(Sender: TObject);
begin
yy:=100;
stringgrid1.Cells[0,1]:='A';
stringgrid1.Cells[0,2]:='β';
stringgrid1.Cells[0,3]:='k';
stringgrid1.Cells[0,4]:='μ';
stringgrid1.Cells[1,0]:='x1';
stringgrid1.Cells[2,0]:='x2';
stringgrid1.Cells[3,0]:='x3';
stringgrid1.Cells[4,0]:='x3';
stringgrid1.Cells[1,1]:='5';
stringgrid1.Cells[1,2]:='8';
stringgrid1.Cells[1,3]:='38,6';
stringgrid1.Cells[1,4]:='0,26';
stringgrid1.Cells[2,1]:='5';
stringgrid1.Cells[2,2]:='8';
stringgrid1.Cells[2,3]:='58,2';
stringgrid1.Cells[2,4]:='-45,2';
stringgrid1.Cells[3,1]:='5';
stringgrid1.Cells[3,2]:='8';
stringgrid1.Cells[3,3]:='9,650000000';
stringgrid1.Cells[4,1]:='5';
stringgrid1.Cells[4,2]:='8';
stringgrid1.Cells[4,3]:='14,600000000';
stringgrid5.Cells[0,0]:='температура пресс-формы';
stringgrid5.Cells[1,0]:='температура заготовки';
stringgrid5.Cells[2,0]:='время отверждения';
stringgrid5.Cells[3,0]:='плотность';
stringgrid5.Cells[4,0]:='теплопроводность';
stringgrid5.Cells[5,0]:='теплоемкость';
stringgrid5.Cells[6,0]:='толщина';
stringgrid5.Cells[7,0]:='кол-во слоев';
stringgrid5.Cells[0,1]:='185';
stringgrid5.Cells[1,1]:='65';
stringgrid5.Cells[2,1]:='24';
stringgrid5.Cells[3,1]:='730';
stringgrid5.Cells[4,1]:='0,187';
stringgrid5.Cells[5,1]:='1,45';
stringgrid5.Cells[6,1]:='0,027';
stringgrid5.Cells[7,1]:='5';
t:=0;
t0:=0;
R:=100;
x0:=100; y0:=300;
x1:=300; y1:=300;
```

```
bitbtn1.Click;
end;

procedure TForm1.Timer1Timer(Sender: TObject);
var A,B,k:array[1..4] of real; u1,u2:real; i:integer;
begin
for I := 1 to 4 do
begin
A[i]:=strtofloat(stringgrid1.Cells[i,1]);
B[i]:=strtofloat(stringgrid1.Cells[i,2]);
k[i]:=strtofloat(stringgrid1.Cells[i,3]);
u1:=strtofloat(stringgrid1.Cells[1,4]);
u2:=strtofloat(stringgrid1.Cells[2,4]);
end;
timer1.Interval:=10+1*(50-spinedit1.Value) ;
t:=t+0.01;
dx0:= A[1]*sin(k[1]*t+B[1])+A[1]*sin(k[1]*t+B[1]);
y0:=y0+ 0.5*dx0;
y1:=y1+ 0.3*(A[2]*sin(k[2]*t+B[1])+A[2]*sin(k[2]*t+B[2]));
bitbtn1.Click;
end;

procedure TForm1.Timer2Timer(Sender: TObject);
begin
inc(t0);
inc(t0);
inc(t0);inc(t0);
inc(t0);inc(t0);
inc(t0);
if t0>300 then t0:=0;
end;
end.
```

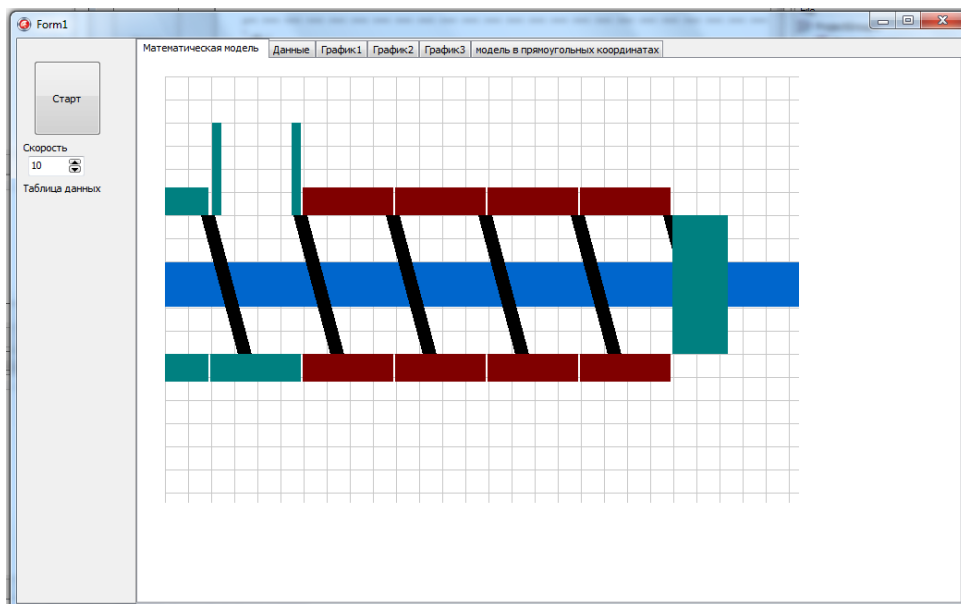


Рисунок 1 - Основное окно программы.

Математическая модель    Данные    График1    График2    График3    модель в прямоугольных координатах

входные данн	диаметр шнека	число заходов	частота враще	длина шнека	коэф-т формы	шаг нарезки	температура п	глубина канал
	20	1	30	35	0,0055	1,1	180	0,15

Скорость  
10

Таблица данных

расчет задачи

длина зон и	глубина кан	глубина кан	диаметр ва	диаметр ва	о	a	b	A1	B1	длина зон и	объемная п	скорость сл	a
490	1,369	2,511	14	14,978	96,354	6,667	0,00977643	5294,34079	47,4623379	210	0,31	22,948	-0,44

построить графики зависимости потоков от шага нарезки

построить графики зависимости потоков от частоты вращения шнека

Button7

Рисунок 2 - Окно программы с вычисленными значениями.

При изменении исходных данных компьютерная модель позволяет рассчитывать производительность экструдера (рис.1-3). К примеру от частоты вращения шнека рис.3.

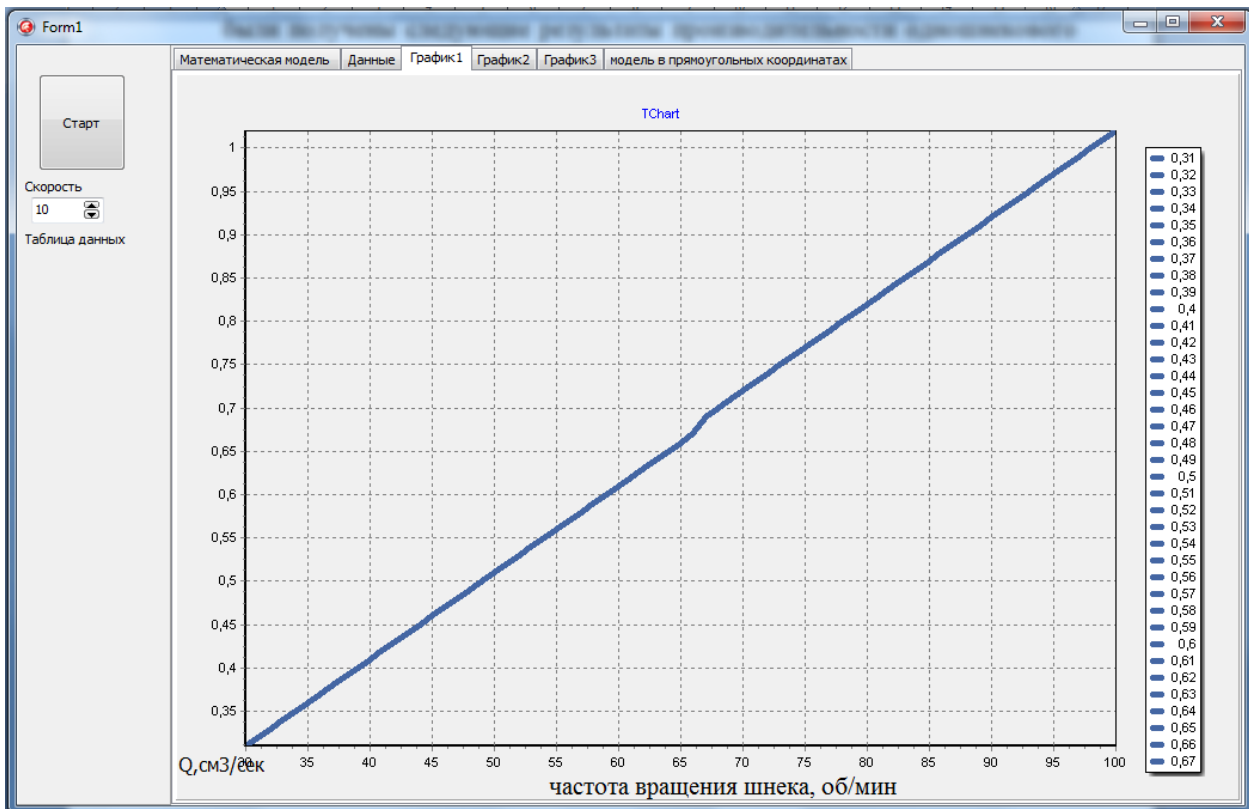


Рисунок 3 - Зависимость объемной производительности экструдера от частоты вращения шнека.

**References:**

1. Басов Н. И., Казанков Ю. В. Литьевое формование полимеров. — М.: Химия, 1984. — 248 с.
2. Вель Г. И., Сенатос В. А., Петухов А. Д. Определение напряжений при формовании рукавной пленки // Химическая технология. — 1979. — № 4. — С. 34–37.
3. Воскресенский А. М., Ищенко М. А. Компьютерные модели свойств и переработки полимерных композиций. — СПб.: СПбГТИ (ТУ), 2008. — 66 с.
4. Воскресенский А. М., Кучинская Е. А. Переработка полимерных материалов в червячных машинах. Методы технологических расчетов. — СПб.: СПбГТИ (ТУ), 2000. — 58 с.
5. Воскресенский А. М., Сыкалов Г. В. Метод итераций вязкости в теории переработки полимеров. — СПб.: Изд-во СПбГТИ(ТУ), 2013. — 116 с.
6. Лукач Ю. Е., Петухов А. Д., Сенатос В. А. Оборудование для производства полимерных пленок. — М.: Машиностроение, 1981. — 224 с.
7. Полосин А. Н. Моделирование и оптимизация процессов смешения термопластичных материалов в одношнековых экструдерах // Информационные технологии моделирования и управления. — 2009. — № 2. — С. 297–305.
8. Полосин А. Н., Плонский В. Ю. Расчет термической деструкции полимерного материала в осциллирующем экструдере // Информационные технологии в науке, проектировании и производстве: материалы V Всерос. науч.-техн. конф. Н. Новгород: Межрегион. Верхне волж. отд-ние Акад. технол. наук РФ, 2002. — С. 13–14.
9. Полосин А. Н. Технология моделирования неизотермического течения расплавов полимеров в одношнековых экструдерах на базе теории плоских потоков // Информационные технологии моделирования и управления. — 2007. — № 3. — С. 376–386.
10. Полосин А. Н., Чистякова Т. Б. Математическая модель одношнековой экструзии для управления качеством пластика в многоассортиментных производствах полимерных пленок // Системы управления и информационные технологии. — 2009. — № 2. — С. 87–92.
11. Полосин А. Н., Чистякова Т. Б., Блинов И. Г. Библиотека математических моделей для исследования и перенастройки процессов получения рукавных пленок // Математические методы Программный комплекс для моделирования и оптимизации одношнековых экструзионных процессов в многоассортиментных производствах пленочных и гранулированных полимерных материалов : свидетельство о гос. рег. программы для ЭВМ № 201061423
12. (30.06.2010) / Чистякова Т. Б., Полосин А. Н., Григорьев О. Е. // Программы для ЭВМ. Базы данных. Топологии интегральных микросхем: офиц. бюл. Федер. службы по интелект. собственности, пат. и товар. знакам. — М.: ФИПС, 2010. — Вып. 3. — С. 447.
13. Раувендааль К. Экструзия полимеров. — СПб.: Профессия, 2008. — 768 с.
14. Тадмор З., Гогос К. Теоретические основы переработки полимеров. — М.: Химия, 1984. — 632 с.
15. Тарасик В. П. Математическое моделирование технических систем. 2-е изд., испр. и доп. — Мн.: ДизайнПРО, 2004. — 640 с.
16. Торнер Р. В. Основные процессы переработки полимеров (теория и методы расчета). — М.: Химия, 1972. — 456 с.